

## Journal Pre-proofs

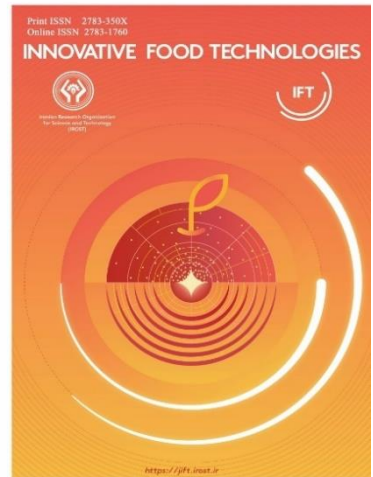
**Feasibility assessment of employing near-infrared/visible spectroscopy for detecting olive pomace oil adulteration using LDA and SVM identification methods**

Shirin Asadian<sup>1</sup>, Ahmad Banakar<sup>2\*</sup>, Bahareh Jamshidi<sup>3</sup>

DOI: <https://doi.org/10.22104/ift.2024.6519.2155>

\*ah\_banakar@modares.ac.ir

To appear in: Innovative Food Technologies (IFT)



Received Date: 19 October 2023

Revised Date: 14 May 2024

Accepted Date: 27 May 2024

Please cite this article as: Shirin Asadian<sup>1</sup>, Ahmad Banakar<sup>2\*</sup>, Bahareh Jamshidi<sup>3</sup>, Feasibility assessment of employing near-infrared/visible spectroscopy for detecting olive pomace oil adulteration using LDA and SVM identification methods, *Innovative Food Technologies* (2024), doi: <https://doi.org/10.22104/ift.2024.6519.2155>

This is a PDF file of an article that has undergone enhancements after acceptance, such as the addition of a cover page and metadata, and formatting for readability, but it is not yet the definitive version of record. This version will undergo additional copyediting, typesetting and review before it is published in its final form, but we are providing this version to give early visibility of the article. Please note that, during the production process, errors may be discovered which could affect the content, and all legal disclaimers that apply to the journal pertain.

© 2024 The Author(s). Published by irost.org.

# امکان سنجی به کارگیری طیف سنجی مرئی / فروسرخ نزدیک برای تشخیص تقلب روغن تفاله زیتون با روش های شناسایی SVM و LDA

شیرین اسدیان<sup>۱</sup>، احمد بناکار<sup>۲\*</sup>، بهاره جمشیدی<sup>۳</sup>

۱. شیرین اسدیان، دانشجوی کارشناسی ارشد، گروه مهندسی بیوپریستم، دانشکده کشاورزی، دانشگاه تربیت مدرس، تهران، ایران.

۲. احمد بناکار<sup>\*</sup>، دانشیار گروه مهندسی بیوپریستم، دانشکده کشاورزی، دانشگاه تربیت مدرس، تهران، ایران.

۳. بهاره جمشیدی، دانشیار مؤسسه تحقیقات فنی و مهندسی کشاورزی، سازمان تحقیقات، آموزش و ترویج کشاورزی، کرج، ایران.

\* نویسنده مسئول: ah\_banakar@modares.ac.ir

چکیده

زیتون یک میوه مدیترانه‌ای است که عمدتاً به دلیل روغن آن کشت می‌شود. روغن‌زیتون فرابکر همیشه موردنویجه و خواست استفاده‌کنندگان بوده است. از این‌رو، تقلب در روغن‌های زیتون بکر و فرابکر، با افزودن روغن‌هایی مثل کانولا، آفتتابگردان، تفاله زیتون و غیره مشاهده می‌شود. تشخیص تقلب در روغن‌های گیاهی با ترکیبات مشابه و گونه‌های متفاوت با روش‌های مرسوم از جمله کروماتوگرافی گازی مشکل و زمان بر است و نیاز به آماده‌سازی نمونه و اپراتور دارد. به همین دلیل کاربرد فناوری‌های غیرمخرب برای تشخیص تقلب اهمیت دارد. در این پژوهش، با استفاده از فناوری طیف‌سنجدی مرئی/افروسخ نزدیک (Vis/NIR)، تشخیص تقلب روغن پومیس (rogue Tephale Ziyoun) بررسی شد. از سه نوع روغن‌زیتون فرابکر، بکر و روغن‌زیتون تصفیه شده برای نمونه‌گیری استفاده شد؛ همچنین نمونه‌ها در شش دسته خالص، ۱۱، ۲۰، ۳۳، ۵۰ و ۱۰۰ درصد تقلب ساخته شدند. هر تیمار در ده نمونه تهیه و آزمایش‌ها انجام شد. در ادامه به منظور تحلیل ویژگی‌های کیفی و طبقه‌بندی داده‌های مستخرج از طیف‌سنجد، از روش‌های بازنگشتنی الگو شامل تحلیل تفکیک خطی (LDA) و ماشین بردار پشتیبان (SVM) استفاده شد. نتایج به دست آمده نشان داد که طیف‌سنجد مرئی/افروسخ نزدیک (Vis/NIR) قادر به تفکیک نمونه‌های روغن‌زیتون بر اساس درصد تقلب مختلف تقلب پومیس است. هرچند روش LDA توانست با صحت قابل قبولی نمونه‌های روغن‌زیتون را با توجه به نرخ تقلب دسته‌بندی کند، اما روش SVM با صحت آموزش ۹۶/۶۹ درصد و اعتبار‌سنجی ۹۵/۸۶ درصد از صحت و برازش مطلوب‌تری برخوردار بود. طبق نتایج، تابع خطی، به عنوان بهترین تابع برای ساخت مدل‌های دسته‌بندی به روش SVM پیشنهاد شد.

**واژه‌های کلیدی:** تحلیل تفکیک خطی، تقلب، روغن پومیس، ماشین بردار پشتیبان،

## ۱. مقدمه

درخت زیتون درختی مقاوم، بردبار و همیشه سبز بوده است و میوه آن برای تغذیه به صورت کنسرو<sup>۱</sup> و روغن‌کشی<sup>۲</sup> مورد استفاده قرار می‌گیرد [1]. در حال حاضر بیش از ۹۵ درصد درختان زیتون جهان در مناطق مدیترانه‌ای رشد می‌کنند. نزدیک به ۸۱ درصد کل تولید زیتون از اتحادیه اروپا (اسپانیا، ایتالیا، یونان، پرتغال و فرانسه)، حدود ۷ درصد از خاور نزدیک و حدود ۱۱ درصد از آفریقای شمالی تامین می‌شود. ۱ درصد باقیمانده به مناطق آمریکایی مثل آرژانتین، مکزیک، پرو و ایالات متحده تعلق دارد [2]. لیپیدها نقش کلیدی در سلامت انسان دارند [3]. روغن زیتون از زمان‌های قدیم از نظر خوارکی و حتی درمانی بسیار مورد توجه بوده است؛ بطوریکه روغن زیتون می‌تواند در درمان بیماری‌های قلبی عروقی به کار گرفته شود [4]. روغن زیتون از نظر تجاری محصولی ارزشمند است بنابراین اغلب در معرض تقلب با سایر روغن‌های خوارکی مانند آفتتابگردان، روغن فندق، روغن پومیس و دیگر روغن‌ها با ترکیب اسیدهای چرب مشابه مانند کانولا و کنجد است [5]. تقلب در مواد غذایی از جنبه‌های زیان اقتصادی به مصرف‌کننده، زیان آسیب به سلامتی و یا عدم بهره‌مندی از فواید تغذیه‌ای و جنبه‌ی روانی آن یعنی عدم اعتماد به محصول معرفی شده، نیازمند تحقیق و بررسی و نیز تصویب و اجرایی نمودن الزامات، قوانین و استانداردهای مربوط می‌باشند. تقلب در مواد غذایی مخصوصاً در روغن زیتون، با افزودن مواد با ارزش غذایی و قیمت پایین‌تر به روغن اصل ایجاد می‌گردد و این افزودن باعث تغییر در بعضی ویژگی‌ها می‌گردد. تشخیص روغن اضافه شده به روغن زیتون معمولاً به آسانی انجام نمی‌شود؛ چرا که گاهی روغن اضافه را طوری انتخاب می‌کنند که

<sup>1</sup>Visible Near Infrared

<sup>2</sup>Canned

<sup>3</sup>Oil Extraction

هیچ تغییری در شاخص‌ها (عدد بدی، عدد صابونی، تغییر ضریب شکست، نور و غیره) به وجود نیاید[6]. روغن زیتون بکر<sup>۱</sup> با کیفیت بالا را می‌توان تنها از میوه‌های سالم و تازه با درجه رسیدگی مناسب تولید کرد. نوع و میزان ترکیبات شیمیایی موجود در روغن زیتون به عواملی نظیر رقم، شرایط اقلیمی و روش استخراج وابسته است[5]. پارامترهای فنی مانند روش‌های نگهداری و مدت زمان فرایند هم می‌تواند بر کیفیت روغن دخالت داشته باشد. پایداری اکسایشی و ارزش تغذیه‌ای روغن زیتون نسبت به روغن‌های گیاهی دیگر به دلیل وجود ترکیبات آنتی‌اکسیدانی طبیعی، بیشتر است[7].

با توجه به اینکه روغن زیتون یک نوع روغن مصرفی بهویژه برای پخت‌وپز است، روی سلامتی عموم مردم، بهویژه بیماری‌های قلبی عروقی، دیابت و سرطان تأثیرگذار است [8]. بر این اساس، کنترل کیفیت این روغن یکی از مسائل پراهمیت در بهداشت و ایمنی مواد غذایی است [9]. همچنین به دلیل اینکه روغن زیتون، یک روغن گران‌قیمت است می‌تواند در معرض تقلب افراد سودجو قرار گیرد. از این رو، وجود استاندارد‌ها در سطوح مختلف یک امر ضروری و مهم است. از طرفی تنوع کشورهای تولیدکننده آن نیز لزوم توجه به حفظ کیفیت واردات این روغن را افزایش می‌دهد. پس از به دست آوردن روغن زیتون با تکنیک‌های فیزیکی، تفاله‌ای ایجاد می‌شود که محتوی بیش از ۸ درصد روغن است و می‌تواند توسط حلال (معمولًا هگزان) استخراج شود. این روغن، روغن پومیس<sup>۲</sup> نام دارد. به علت خصوصیات حلال، روغن استخراج شده با حلال، مقادیر بیشتری از اجزاء کمیاب را دارا است [10]. روغن پومیس به علت استخراج با حلال‌های شیمیایی و درنتیجه آلوده بودن به بنزوآل‌فایبرنن،<sup>۳</sup> مونوکلوروبروپان دی‌ال‌هاؤ<sup>۴</sup> و هیدروکربن‌های حلقوی،<sup>۵</sup> سرطان‌زا است و روی اعصاب و سایر ارگان‌های بدن تأثیر نامطلوب دارد [11]. محتوای میزان اسیدهای چرب<sup>۶</sup> یک پارامتر مهم برای ارزیابی کیفیت روغن محسوب می‌شود. از ترکیبات اصلی روغن‌زیتون، اسیدهای چرب هستند. روغن‌زیتون دارای ۱۰-۱۵ درصد اسید چرب اشباع<sup>۷</sup> و ۷۰-۸۰ درصد اسید چرب غیراشباع<sup>۸</sup> است[12]. فراوان‌ترین اسید چرب موجود در روغن‌زیتون اسید اولنیک است [13]. با بهره‌گیری از کروماتوگرافی گازی<sup>۹</sup> (GC) می‌توان درصد اسیدهای چرب را با دقت بالا به دست آورد و از این طریق نوع روغن زیتون را تشخیص داد. کروماتوگرافی دقیق‌ترین روش تحلیلی است[14]. در حال حاضر از روش کروماتوگرافی گازی برای شناسایی تقلب در روغن زیتون استفاده می‌شود. همچنین در ارزیابی انطباق<sup>۱۰</sup> برای کنترل کیفیت مواد غذایی از جمله روغن زیتون برای اصالت سنجی، تشخیص، تعیین تقلبات<sup>۱۱</sup> و کمیت اسیدهای چرب، توسط آزمایش‌های شیمیایی و تست کروماتوگرافی گازی صورت می‌پذیرد که نسبت به روش‌های غیرمخرب مانند طیفسنجی مرئی-فروسرخ نزدیک روشن گران‌قیمت و زمان بری هستند و نیازمند آزمایشگاه‌های تخصصی کنترل کیفیت و نیروی انسانی متخصص می‌باشند. قابل ذکر است که وجود روغن پومیس در روغن زیتون بکر و روغن زیتون تصفیه شده به روش کروماتوگرافی گازی قابل‌تشخیص نیست و تشخیص تقلب در این موارد با روش کروماتوگرافی بدون تجهیزات پیشرفته از جمله محفظه تزریق قابل برنامه‌ریزی دما کاربرد ندارد ولی در صورت بهره‌گیری از این

<sup>1</sup>Virgin Olive Oil

<sup>2</sup>Pomace Olive Oil

<sup>3</sup>Benze Alphaperenn

<sup>4</sup>Monochloropropane DL

<sup>5</sup>Cyclic hydrocarbons

<sup>6</sup>Fatty acids

<sup>7</sup>Saturated fatty acid

<sup>8</sup>Unsaturated fatty acids

<sup>9</sup> Gas Chromatography

تجهیزات، تقلب روغن تفاله زیتون با مقادیر بسیار کمتر از ۱ درصد هم قابل تشخیص است [15]. امروزه روش‌های متنوعی برای کنترل کیفیت میوه‌ها در دنیا وجود دارد که در این‌بین روش‌های غیرمخرب به دلیل توانایی در تشخیص ویژگی‌های مختلف محصول بدون آسیبرساندن به آن‌ها از اهمیت ویژه‌ای برخوردار هستند. برخی از این روش‌ها شامل طیفسنجی مرئی - فروسرخ<sup>۱</sup> (Vis/NIR)، تصویربرداری چند طیفی و فراتیفی<sup>۲</sup>، تصویربرداری رزونانس مغناطیسی هسته<sup>۳</sup>، توموگرافی محاسباتی با استفاده از اشعه ایکس و طیفسنجی دی‌الکتریک هستند [16]. روش‌های طیفسنجی مانند مرئی، فروسرخ نزدیک، فروسرخ میانه و طیفسنجی فراتیفی غیرمخرب‌تر از روش‌های مکانیکی و شیمیایی هستند و داشتن ابزارهای ساده، سریع، قابل حمل و فرآگیر، از دیگر فواید استفاده از این روش‌ها هستند. بنا بر همین دلایل امروزه از این فناوری به شکل گسترهای در صنایع کشاورزی، غذا، دارو و پتروشیمی استفاده می‌شود [17]. یکی از کاربردهای مناسب روش طیفسنجی، آشکارسازی افزودنی‌های تقلبی در محصولات بهویژه مواد غذایی پرکاربرد و گران‌قیمت است [18]. در پژوهشی از طیفسنجی<sup>۴</sup> FTIR برای تجزیه و تحلیل و طبقه‌بندی روغن‌های زیتون فرابکر در مناطق مختلف مراکش استفاده شد. در این تحقیق از خوش‌بندی<sup>۵</sup> به همراه آنالیز تفکیک حداقل مربعات جزئی<sup>۶</sup> استفاده شده است. براساس آنالیز خوش‌بندی و آنالیز مؤلفه‌های اصلی<sup>۷</sup> چهار خوش‌بندی شناسایی شدند. این روش نتایج قابل اعتمادی را در طبقه‌بندی روغن زیتون فرابکر از مناطق مختلف مراکش با مزایای سریع، ارزان بودن و بدون نیاز به روش جداسازی قبلی ارائه می‌دهد [19]. از ترکیب روش‌های بینی الکترونیک<sup>۸</sup> و زبان الکترونیک<sup>۹</sup> نیز برای توصیف پنج روغن زیتون بکر<sup>۱۰</sup> (VOO) از مناطق مختلف جغرافیایی مراکش استفاده شد. آنالیز مؤلفه‌های اصلی نشان داد که وقتی از هر کدام از دو روش به تنها‌ی استفاده می‌شود نمی‌توان آن‌ها را به طور مشخص از یکدیگر تفکیک کرد. آنالیز کلاس‌بندی به روش ماشین بردار پشتیبان (SVM) انجام گرفت و نشان داد نمونه‌ها با توجه به منشا جغرافیایی‌شان به درستی طبقه‌بندی شدند. نتایج به دست آمده از داده‌ها به صورت ترکیبی (استفاده همزمان از بینی و زبان الکترونیک) از نتایج طبقه‌بندی به صورت جداگانه بهتر عمل کردند [20]. در تحقیق دیگری تقلب روغن زیتون با استفاده از پردازش تصویر و طیفسنجی دی‌الکتریک از لحاظ ترکیب آن با روغن‌های ذرت، کلزا، آفتتابگردان و سویا مورد بررسی قرار گرفت. مقادیر ضریب همبستگی و میانگین مربعات خطأ برای نمونه‌های مخلوط شده زیتون و آفتتابگردان برابر ۰/۹۶۲ و ۰/۰۰۸ و برای نمونه‌های مخلوط شده زیتون و کلزا مقادیر ۰/۹۶۱ و ۰/۰۰۱۳ حاصل شد. نتایج ارزیابی‌ها نشان داد که سامانه طراحی شده، توانایی تشخیص دقیق موردنظر را دارا است [1]. در آزمایش دیگری از طیفسنجی فروسرخ برای تجزیه و تحلیل کیفیت غیرمخرب دانه‌های روغنی و دانه‌های خوارکی استفاده شد. نتایج نشان داد که این فناوری سریع، غیرمخرب و کم‌هزینه است و یک گزینه امیدوارکننده برای تشخیص پارامترهای کیفیت دانه‌های روغنی و همچنین برای تشخیص اصالت و قابلیت ردیابی منشأ دانه‌های روغنی و روغن‌های خوارکی با صحت ۸۹ درصد است [21]. مطالعات گذشته بیانگر اهمیت بالای روش طیفسنجی به عنوان یک روش سریع، ساده،

<sup>1</sup> Visible-Near infrared<sup>2</sup> Multispectral/Hyperspectral imaging<sup>3</sup> Nuclear magnetic resonance<sup>4</sup> Fourier transform infrared<sup>5</sup> Cluster analysis<sup>6</sup> Discriminant analysis-Partial least squares<sup>7</sup> Principal component analysis<sup>8</sup> Electronic nose<sup>9</sup> Electronic tongue<sup>۱۰</sup> Virgin olive oil<sup>۱۱</sup> Support Vector Machine

کم‌هزینه با دقت قابل قبول در سنجش کیفیت محصولات کشاورزی است. به همین دلیل، استفاده از آن به صورت‌های مختلف و برای محصولات گوناگون روز به روز در حال گسترش است. اما پژوهشی که در آن تشخیص تقلب پومیس در انواع روغن زیتون (فرابکر، بکر و روغن زیتون تصفیه شده) مبتنی بر روش طیفسنجی و با استفاده از روش‌های طبقه‌بندی پرداخته شده باشد، یافت نشد. بنابراین، در این پژوهش، شناسایی تقلب روغن پومیس، با استفاده از روش سریع و غیرمخرب طیفسنجی مرئی - فروسرخ نزدیک بدون سنجش و اندازه‌گیری خواص کیفی با استفاده از روش‌های شناسایی الگو نظری LDA و SVM انجام پذیرفت. درواقع تجزیه و تحلیل داده‌های چندمتغیره از جمله روش‌های آماری است که بر مشاهده همزمان، بهره‌برداری و پردازش چندین متغیر آماری به منظور استخراج اطلاعات سینتیک مربوطه استوار است. از این رو، اهداف خاص این پژوهش عبارتند از: ۱- مقایسه عملکرد روش‌های پیش‌پردازش طیفی مختلف ۲- آنالیز توزیع متغیرهای انتخاب شده به وسیله الگوریتم‌های مختلف انتخاب متغیر ۳- مقایسه صحت تشخیص مدل ساخته شده به وسیله ترکیب پیش‌پردازش‌های طیفی مختلف و الگوریتم‌های انتخاب متغیر.

## ۲. مواد و روش‌ها

### ۱.۲. نمونه‌گیری

روغن‌های زیتون فرابکر، بکر و روغن زیتون تصفیه شده مورداستفاده در این پژوهش، از کارخانه تولید روغن زیتون اتکا در شهرستان رومانی استان تهران تهیه شد. نمونه روغن پومیس خام و غیرخوارکی نیز از شرکت دارویی، آرایشی و بهداشتی تهیه شد. ابتدا روغن کشی به صورت پرس سرد صورت گرفت و سپس برای اطمینان از اصالت آن‌ها، مشخصات و درصد ترکیبات سازنده آن با سامانه کروماتوگرافی گازی مدل 4600 Unicam (با دتکتور FID در دمای ۳۰۰ درجه سلسیوس و ستون 70<sup>70</sup> BP\*Capillary) در آزمایشگاه گروه علوم دام و طیور دانشکده کشاورزی دانشگاه تربیت‌مدرس در شهر تهران استخراج شد. کروماتوگرافی گازی، روشنی برای جداسازی و بررسی مواد فرار یک ماده (معمولًاً به صورت مایع یا گاز) است. روغن زیتون فرابکر، بکر و روغن زیتون تصفیه شده با روغن پومیس با درصدهای وزنی ۱۱، ۲۰، ۳۳، ۵۰ و ۱۰۰ درصد مخلوط شدند. این درصدها با توجه به تقلب‌های موجود در بازار انتخاب شدند. در مجموع ۱۶۰ نمونه که به ازای هر تیمار ده تکرار وجود داشت، تهیه شد. شکل ۱، صفحه ۹، دسته‌های مختلف تقلب را نشان می‌دهد. همان گونه که پیداست از لحاظ ظاهری نمونه‌ها باهم هیچ تفاوتی ندارند.

### ۲.۱. اندازه‌گیری با دستگاه طیفسنج مرئی / فروسرخ نزدیک

به منظور طیف‌گیری از نمونه‌ها نیازی به هیچ گونه آماده‌سازی روى نمونه نیست که این از مزایای طیفسنجی مرئی / فروسرخ نزدیک است. طیف مرئی / فروسرخ نزدیک با استفاده از فیبر دومسیره که قسمت مرکزی برای انتقال نور از نمونه به آشکارساز و فیبرهای بیرونی برای انتقال نور از منبع تابش به نمونه است، استفاده شد، و در وضعیت عبوری و در ناحیه ۸۵۰-۲۰۰ nm با استفاده از طیفسنج مدل USB2000 ساخت شرکت Ocean Optic و با تفکیک‌پذیری ۱ نانومتر توسط نرم‌افزار OceanView ثبت شد. این طیفسنج بسیار کوچک، سبک و قابل حمل است مجموعه این دستگاه به وزن ۱۹۰ گرم شامل یک طیفسنج با ابعاد ۳۴/۴mm × ۸۹/۱mm × ۶۳/۳mm آشکارساز Sony ILX51B CCD است. سرعت برداشت هر منحنی طیفی ۰/۰۰۱ میلی‌ثانیه است. از یک کاوشگر فیبر نوری دومسیره استفاده شد که قابلیت انتقال اطلاعات به کامپیوتر را به منظور نمایش و ذخیره‌سازی طیف‌های به دست آمده در نرم‌افزار Ocean View از طریق پورت USB دارد. از یک کامپیوتر رومیزی برای نمایش و ذخیره داده‌های طیفی به کمک نرم‌افزار مخصوص داده‌های طیفسنجی استفاده شد. به منظور تولید نور مناسب، از منبع نور هالوژن - تنگستن مدل High Intensity Contact Probe A122300 (ASD, Inc. USA) با قابلیت اتصال به فیبر نوری بهره‌گیری شد. این منبع نور دارای توان خروجی ۱۸-۱۲ DC ولت است. طیف نمونه‌های روغن با ۱۰ اسکن متوالی گرفته و میانگین ۱۰ طیف حاصله، برای هر نمونه گزارش شد.

### ۳.۲. آماده‌سازی و پیش‌پردازش طیف‌ها

داده‌های طیفی به دست آمده از طیفسنج، افزون بر اطلاعات نمونه شامل اطلاعات ناخواسته پس زمینه و نویزها نیز هستند. از این‌رو، برای دستیابی به مدل‌های واسنجی پایدار، دقیق و قابل اعتماد، نیاز به پیش‌پردازش داده‌های طیفی پیش از توسعه مدل‌های دسته‌بندی متناسب با داده است. ساخت مدل دسته‌بندی برای توصیف رابطه بین داده‌های طیفی و آزمایشگاهی یکی از مهم‌ترین و سخت‌ترین مراحل طیفسنجی به شمار می‌رود و فرایندی زمان‌بر است که معمولاً با آزمون و خطا انجام می‌گیرد. بعد از ثبت و ذخیره طیف‌های به دست آمده برای تحلیل طیف‌های دریافتی، پیش‌پردازش داده‌ها انجام شد. بخشی از داده‌ها از ناحیه ۵۵۰ نانومتر به قبل دارای نویز زیاد بودند و به روش‌های پیش‌پردازش معمول قبل هموارسازی نبودند؛ بنابراین حذف شدند. به منظور اجرای مراحل پیش‌پردازش داده‌های طیفی نیاز به تبدیل داده‌های مد عبور به مد جذبی است که بدین منظور از رابطه ۱ استفاده شد که به قانون بیر-لمبرت مشهور است [22].

$$(1) A = \log 1 / Tr_{\lambda}$$

که در آن  $A$ : میزان جذب و  $Tr_{\lambda}$ : بازتاب یا عبور در طول موج  $\lambda$  است.

پس از این‌که طیف‌های عبوری به دست آمده از همه نمونه‌ها به منظور ایجاد یک رابطه خطی با غلظت مولکولی نمونه به طیف‌های جذبی تبدیل شدند، برای آماده‌سازی و پیش‌پردازش طیف‌ها از برخی روش‌های هموارسازی و کاهش نویز مانند میانگین‌گیری متحرک<sup>۱</sup> (MA)، ساویتزکی گولای<sup>۲</sup> (SG)، توزیع نرمال استاندارد<sup>۳</sup> (SNV) و مشتق اول<sup>۴</sup> ( $D_1$ ) استفاده شد.

روش میانگین‌گیری متحرک یکی از معمول‌ترین روش‌های هموارسازی و حذف نویزهای تصادفی موجود در طیف است. به گونه‌ای که با استفاده از یک فیلتر میانگین‌گیری متحرک، هر نقطه از طیف با میانگین یک همسایگی (نقشه‌های مجاور شامل خود نقطه) از آن جایگزین می‌شود. در این تحقیق، پس از تبدیل طیف‌ها به جذب، هموارسازی آن‌ها با فیلتر میانگین‌گیری متحرک و عرض پنجره ۷ آجرا شد. هموارسازی ساویتزکی گولای شیوه‌ای دیگر از هموارسازی است که می‌تواند به طور مؤثری نویزهای نویز را بدون ازبین‌رفتن اطلاعات طیفی برطرف کند. روش SG در این پژوهش، با درنظرگرفتن تعداد نقطه‌های همسایگی و درجه چندجمله‌ای به ترتیب برابر ۳ و ۵، برای هموارسازی طیف‌ها همچنین مقایسه با روش هموارسازی MA به کار گرفته شد. روش توزیع نرمال استاندارد برای حذف اثرهای جمعی و افزاینده پخش نور، اندازه نمونه و تغییر فاصله نوری است. از این روش در این پژوهش برای نرمال‌سازی طیف‌ها، پس از هموارسازی و حذف نویز طیف‌ها استفاده شد. همچنین از روش مشتق اول برای افزایش قدرت تفکیک طیفی، حذف پس زمینه و جابه‌جایی خط پایه استفاده شد.

### ۴.۲. توسعه مدل کالیبراسیون

در آنالیز کمی و کیفی محصولات غذایی، ساخت و توسعه مدل واسنجی<sup>۵</sup> قبل اعتماد بسیار ضروری است. به کمک مدل می‌توان مشخصات نامعلوم نمونه‌ها را تعیین و پیش‌بینی کرد. درواقع هدف از توسعه مدل در این پژوهش ارزیابی نرخ تقلب روغن‌های زیتون و طبقه‌بندی آن‌ها است. نمونه‌ها به دو دسته آموزش (۸۰ درصد) برای توسعه مدل‌های واسنجی، و دسته آزمون (۲۰ درصد) برای اعتبارسنجی بیرونی مدل‌های واسنجی توسعه یافته به منظور بررسی توانمندی و دقت مدل‌ها در کلاس‌بندی درصدهای مختلف تقلب نمونه‌های ناشناخته تقسیم شدند. در این پژوهش از روش تحلیل تفکیک خطی<sup>۶</sup> (LDA) و ماشین بردار پشتیبانی<sup>۷</sup> (SVM)

<sup>1</sup>Moving Average

<sup>2</sup>Savitzky-Golay

<sup>3</sup>Standard Normal Variate

<sup>4</sup>First derivative

<sup>5</sup>Calibration

<sup>6</sup>Linear Discriminant Analysis

<sup>7</sup>Support Vector Machine

استفاده شد. ارزیابی مدل ساخته شده با روش اعتبارسنجی مقاطعه کامل برای انتخاب مدلی با بیشترین توانایی دسته‌بندی، در بین مدل‌های آماری مورد استفاده قرار می‌گیرد. به عبارت دیگر پس از ساخت مدل در مرحله واسنجی با ارزیابی مجدد مدل، به بررسی اعتبار و پایداری مدل نیز پرداخته شد.

#### تحلیل تفکیک خطی (LDA)

تحلیل تفکیک خطی در حوزه استخراج ویژگی‌ها تکنیک شناخته شده‌ای است که در بسیاری از مسائل بازشناسی الگو با نظارت با نتیجه موفقیت‌آمیزی استفاده شده است. هدف اصلی LDA نگاشت داده‌ها به فضایی است که در آن نمونه‌ها را در گروه‌های مجرزاً تفکیک کند. LDA برای دستیابی به این هدف به دنبال افزایش جدایی‌گری بین کلاس‌ها و در عین حال کاهش پراکندگی داخل کلاس‌ها است [23]. در این پژوهش برای ایجاد مدل دسته‌بندی به روش LDA از سه نوعتابع Quadratic، Linear و Quadratic ماشین بردار پشتیبان (SVM) و از ۴ نوع ضرایب وزنی مختلف (Downweight، Block weighting، Constant، 1/SDev) استفاده شد.

ماشین بردار پشتیبان از جمله روش‌های غیر احتمالی است که برای انجام طبقه‌بندی از ابر صفحه‌ها برای تعریف مرز بین کلاس‌ها استفاده می‌کند. در واقع هدف اصلی این روش، یافتن بهترین ابر صفحه‌ای است که به عنوان یک سطح تصمیم‌گیری، حاشیه بین دو کلاس را بیشینه و داده‌های مربوط به دو کلاس را از هم تفکیک کند. SVM همراه با توابع کرنل مختلف از جمله توابع خطی، چند جمله‌ای، پایه شعاعی و سیگموئید، می‌تواند با انتقال فضای ورودی داده‌ها به فضایی با بعد بالاتر در طبقه‌بندی غیرخطی داده‌ها استفاده شود [24]. در بیشتر موارد طبقه‌بندی داده‌ها با استفاده از دو نوع ماشین پشتیبان C-SVM و Nu-SVM و Nu-SVM در روش C-SVM پارامتر C براساس اطلاع از نویز موجود در داده‌ها انتخاب می‌شود. پارامتر Nu در روش Nu-SVM به عنوان مرز بالایی از خطاهای حد پایین برای بردار پشتیبان عمل می‌کند. با افزایش آن، در زمان افزایش حاشیه جداسازی کلاس‌ها، خطاهای افزایش می‌یابند [25].

### ۳. نتایج و بحث

شکل ۲، صفحه ۱۰، طیف جذبی از چهار نمونه روغن را نشان می‌دهد که در آن طیف‌ها به خوبی از یکدیگر متمایز بودند و نشان می‌دهد امکان تبعیض در آن‌ها وجود دارد. تفاوت‌ها ممکن است مطابق با ویژگی‌های مختلف نمونه‌های روغن‌زیتون، مانند ترکیبات اسیدهای چرب، تری گلیسرول، گلیسرول، استرول، توکوفرول و فنل و غیره باشد [26].

یافته‌های ما نشان می‌دهد که روغن زیتون فرابکر تقریباً در تمام طیف‌ها جذب بالاتری نسبت به روغن‌های زیتون بکر و تصفیه شده و پومیس دارد و این امر با پژوهش‌های گذشته نیز مطابقت دارد [27]. از شکل ۲ می‌توان دریافت که دو پیک اصلی در ناحیه ۶۵۵-۶۵۰ نانومتر وجود دارد که می‌تواند مربوط به اورتون سوم CH<sub>3</sub> و CH و CH<sub>2</sub> در طیف پومیس باشد [28]. هنگامی که این روغن به سایر روغن‌ها افروده شود، در طیف اصلی این نوع روغن‌ها تغییراتی در این نواحی مشاهده می‌شود. در شکل ۲ پیک‌های جذبی موجود روغن فرابکر و بکر در ناحیه ۶۲۰-۶۱۰ نانومتر، ۶۸۰-۶۵۰ نانومتر مشاهده می‌شود که می‌توانند ناشی از اورتون سوم H<sub>2</sub>O یا اورتون چهارم CH باشند [29]. از شکل ۲ می‌توان دریافت در روغن بکر در ناحیه ۸۵۰-۸۳۰ نانومتر پیک دیگری وجود دارد که می‌تواند مربوط به اورتون چهارم Arch باشد [30]. پیک‌های موجود در روغن زیتون تصفیه شده در ناحیه ۶۷۰-۶۵۵ نانومتر، ۷۶۵-۷۴۵ نانومتر ناشی از اورتون سوم H<sub>2</sub>O یا اورتون چهارم CH و ۸۴۰-۸۱۰ نانومتر هستند که می‌توانند مربوط به اورتون چهارم Arch یا NH<sub>2</sub> باشد [28].

#### ۱.۳. طبقه‌بندی نمونه‌ها به روش LDA

نتایج حاصل از روش LDA در تفکیک تیمارهای مختلف تحقیق به همراه صحت هر کدام در جدول ۱، صفحه ۱۳ نشان داده شده است. نتایج بدست آمده نشان داد که پیش‌پردازش MA، بر پایه تابع Quadratic بالاترین صحت را ارائه می‌دهد. در مرحله بعد پیش‌پردازش

SG بر پایه تابع Quadratic مدلی با صحت بهتر نسبت به سایر روش‌های پیش‌پردازش ارائه داد؛ بنابراین در این روش استفاده از پیش‌پردازش MA و SG و تابع Quadratic تأثیر بیش‌تری در ساخت مدل‌ها با صحت بالاتر داشتند. قابل ذکر است که ضرایب وزنی متفاوت بر صحت روش LDA بی‌تأثیر بود. انتخاب ضرایب وزنی مناسب به نوع داده‌ها بستگی دارد و معمولاً با آزمون و خطا می‌توان به روش مناسب اعمال ضریب وزنی دست‌یافته.

شکل ۳، صفحه ۱۱، عملکرد روش LDA با استفاده از پیش‌پردازش MA و تابع Quadratic در تفکیک تیمارهای تحقیق را نشان می‌دهد.

نقاط نشان‌داده شده در شکل ۳ میزان پراکندگی دسته‌های مختلف روغن‌زیتون را نشان می‌دهد

### ۲.۳. طبقه‌بندی نمونه‌ها به روش SVM

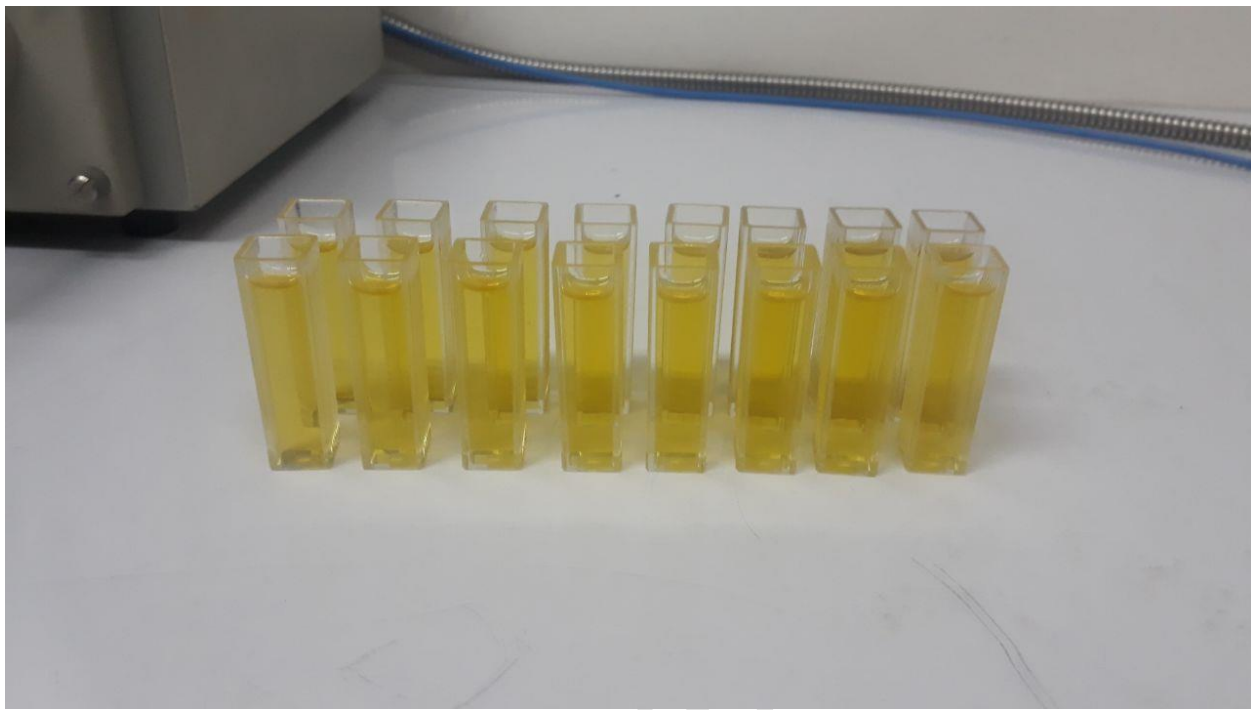
برای طبقه‌بندی نمونه‌ها در روش SVM از دو نوع C-SVM و Nu-SVM استفاده شد. پارامترهای  $\gamma$ ،  $C$  و  $\gamma$  با سعی و خطأ و از طریق به حداقل رساندن خطای مدل در بخش واسنجی و اعتبارسنجی انتخاب شدند. زمانی که از روش Nu-SVM استفاده می‌شد صحت مدل در بخش آموزش و اعتبارسنجی به طرز چشمگیری کاهش پیدا می‌کرد بنابراین نتایج مربوط به این روش در ادامه ذکر نشده است. از چهار نوع تابع کرنل شامل خطی، درجه دوم، تابع پایه شعاعی و سیگموئید استفاده شد. تابع خطی با پیش‌پردازش MA با صحت آموزش ۱۰۰٪ و صحت اعتبارسنجی ۷۷/۵٪ بیش‌ترین صحت اعتبارسنجی را در طبقه‌بندی نمونه‌های روغن‌زیتون به خود اختصاص داد. (شکل ۴، صفحه ۱۲) نتایج حاصل از روش SVM در جدول ۲، صفحه ۱۴ نشان‌داده شده است. پیش‌پردازش SG نیز صحت آموزش بالایی را ارائه داد؛ ولی به دلیل صحت کمتر اعتبارسنجی نسبت به روش MA، نمی‌توان آن‌ها را بهترین مدل دانست. قابل ذکر است که تابع Linear و روش C-CVM تأثیر زیادی در مدل‌های با صحت بیش‌تر با پیش‌پردازش‌های مختلف داشتند. بنابراین هر دو روش مدل‌سازی SVM و LDA در تفکیک و دسته‌بندی تیمارهای تحقیق عملکرد بسیار قابل قبولی داشتند. روش SVM به دلیل صحت بیش‌تر در بخش واسنجی و اعتبارسنجی ارجحیت دارد. هم‌چنین جدول ۳، صفحه ۱۵، کلاس‌های پیش‌بینی شده توسط نمونه‌های دسته آزمون را نشان می‌دهد. طبق این جدول از ۳۲ نمونه دسته آزمون تنها ۲ نمونه اشتباہ کلاس‌بندی شده‌اند. این ۲ نمونه مربوط به تقلب ۱۱ درصد بوده است که به اشتباہ در دسته ۲۰ درصد تقلب کلاس‌بندی شده‌اند. بنابراین می‌توان نتیجه گرفت برای دقت بالای ۲۰ درصد کلاس بند با دقت ۱۰۰ درصد قادر به تفکیک نمونه‌های روغن‌زیتون براساس درصدهای تقلب پومیس بوده است. با پیش‌بینی بسیار خوب توسط نمونه‌های دسته آزمون می‌توان مطمئن شد که بیش‌پردازش و کم‌پردازش در مدل اتفاق نیفتاده است و مدل از اعتبار بالایی برخوردار است. تاکنون پژوهشی که بتواند روغن‌پومیس را از انواع دیگر روغن‌زیتون متمایز کند گزارش نشده است و وجه اشتراک تنها در مقایسه با یک نوع از انواع روغن‌زیتون (به جز روغن‌زیتون تصوفیه شده) و سایر روغن‌های خوراکی بوده است. تحقیقات گذشته نیز نشان داد از بین روش‌های مختلف طبقه‌بندی هم‌چون ماشین بردار پشتیبان، شبکه عصبی مصنوعی و آدابوست، روش ماشین بردار پشتیبان به عنوان بهترین روش با دقت ۸۶,۵٪ قادر به تشخیص نمونه‌های تقلیبی روغن‌زیتون با استفاده از ماشین بولی بوده است [31]. در سایر پژوهش‌ها اگرچه تشخیص تقلب روغن‌زیتون فراپکر با پومیس به روش طیف‌سنجی اعم از رامان، تبدیل فوریه و غیره با صحت قابل قبولی ارائه شده است؛ ولی در پژوهش حاضر نخستین بار است که محدوده پایین فروسرخ نزدیک یعنی بازه ۸۵۰-۷۸۰ نانومتر در کنار ناحیه مرئی به منظور شناسایی دقیق تقلب پومیس در انواع مختلف روغن‌زیتون بهره‌گیری شده است. این محدوده طیفی در اکثر طیف‌سنجی‌های مرئی/فروسرخ نزدیک وجود دارد و نیازی به محدوده بالای طیفی NIR نیست. روش‌های متداول دیگر مانند کروماتوگرافی گازی می‌توانند مقادیر پایین روغن‌پومیس را با اندازه‌گیری تری ترین دی‌الکل‌ها و میزان موم در روغن تشخیص دهد اما در برابر روش طیف‌سنجی فروسرخ نزدیک نیاز به آماده سازی، حال های شیمیایی، هزینه بالا استهلاک دستگاه و اپراتور متخصص دارد.

#### ۴. نتیجه‌گیری

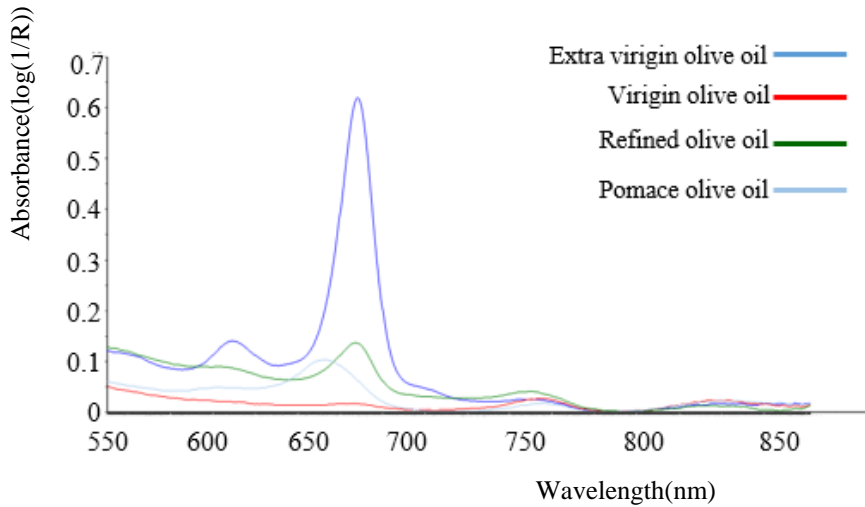
در این پژوهش توانمندی فناوری طیف‌سنجی مرئی/فروسرخ نزدیک (Vis/NIR) به منظور طبقه‌بندی نمونه‌های روغن‌زیتون با درصدهای مختلف تقلب با روش‌های بازشناسی الگو شامل LDA و SVM مورد بررسی قرار گرفت. نتایج به دست آمده نشان داد که طیف‌سنجی (Vis/NIR) قادر به تفکیک نمونه‌های روغن‌زیتون بر اساس نرخ تقلب پومیس است. هرچند روش LDA توانست با صحت خوبی نمونه‌های روغن‌زیتون را دسته‌بندی کند، اما روش SVM با صحت آموزش ۹۶/۶۹ و صحت اعتبارسنجی ۹۵/۸۶ بهترین روش برای دسته‌بندی نمونه‌ها بود. همچنین، بر اساس نتایج حاصله،تابع خطی، بهترین تابع برای ساخت مدل دسته‌بندی به روش SVM تعیین شد. همچنین پیشنهاد می‌شود از این محدوده طیفی به منظور شناسایی حد شناسایی پومیس و اختلاط سایر روغن‌ها مانند آفتتابگردان، کلزا، سویا و غیره در روغن زیتون و تشخیص تقلب استفاده شود.

#### ۵. تعارض منافع

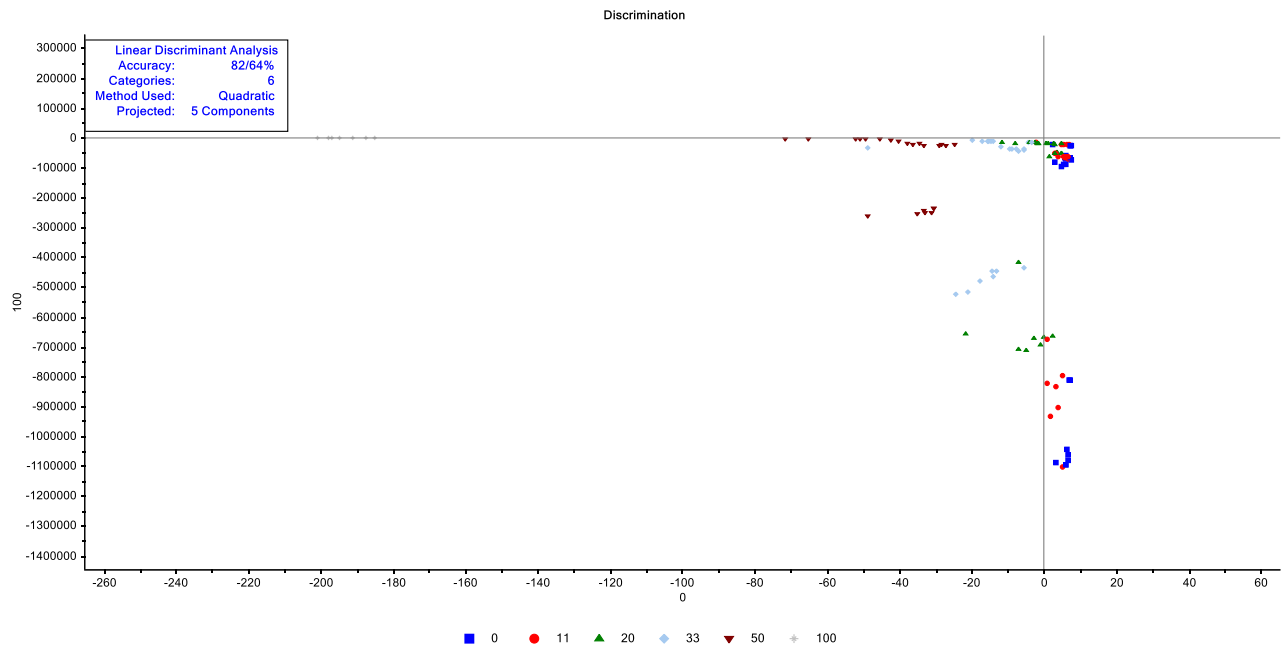
هیچ‌گونه تعارض منافع توسط نویسنده‌گان بیان نشده است.



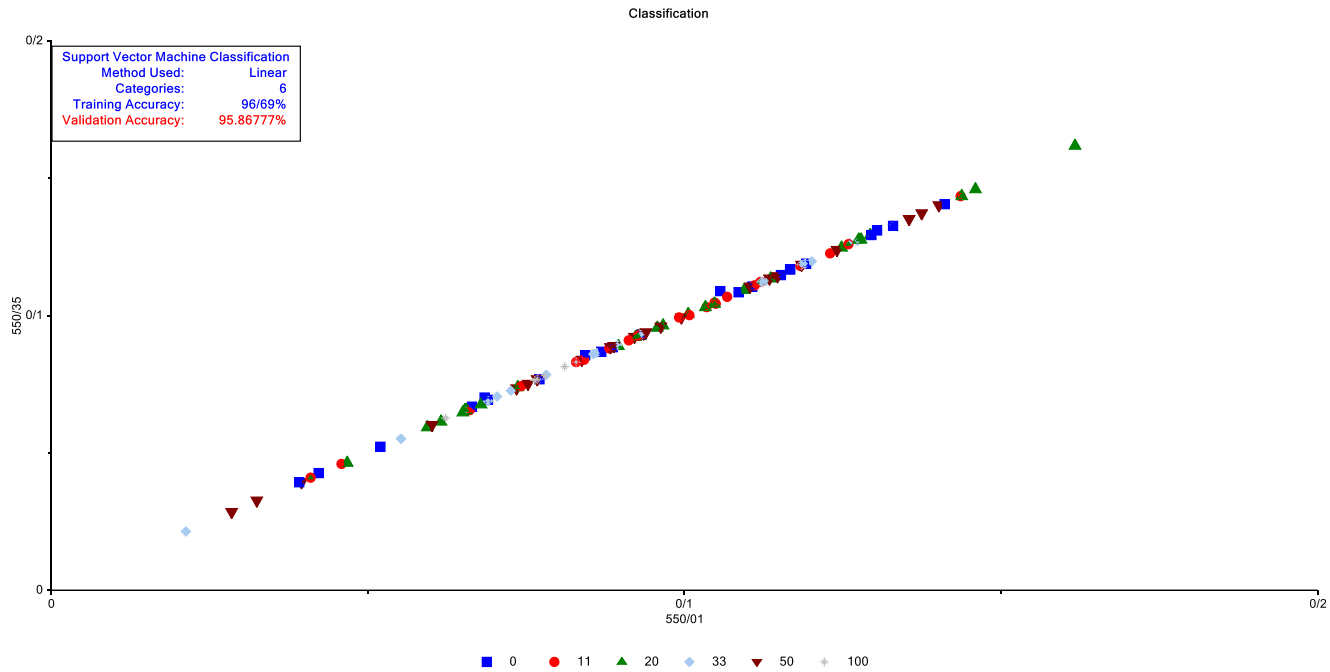
شکل (۱) نمونه‌های مورد استفاده در پژوهش با درصد تقلبات مختلف  
Figure (1) Samples used in the research with different percentages of fraud



شکل (۲) طیف جذبی از چهار نمونه مختلف روغن زیتون  
Fig (2) Absorption spectra of four different olive oil samples



شکل (۳) عملکرد روش LDA با استفاده ازتابع درجه دوم در جداسازی تیمارهای تحقیقاتی  
Fig (3) Performance of LDA method using quadratic function in separating research treatments



شکل (٤) تابع خطی C-SVM با صحت ٩٦.٦٩ درصد  
Fig (4) C-SVM linear function with 100% accuracy

جدول (۱) نتایج مدل LDA نمونه‌های روغن زیتون  
Table (1) Results of LDA model of olive oil samples

Accuracy (%)	Function Type	Preprocessing
79.99	Linear	MA
<b>82.64</b>	<b>Quadratic</b>	<b>MA</b>
81.82	Mahalanobis	MA
49.59	Linear	MA+SNV
74.38	Quadratic	MA+SNV
73.55	Mahalanobis	MA+SNV
79.34	Linear	SG
81.56	Quadratic	SG
80.12	Mahalanobis	SG
43.84	Linear	SG+SNV
71.94	Quadratic	SG+SNV
73.06	Mahalanobis	SG+SNV
80.42	Linear	MA+D <sub>1</sub>
78.34	Quadratic	MA+D <sub>1</sub>
72.94	Mahalanobis	MA+D <sub>1</sub>
79.96	Linear	SG+D <sub>1</sub>
72.91	Quadratic	SG+D <sub>1</sub>
74.91	Mahalanobis	SG+D <sub>1</sub>

## جدول (۲) نتایج مدل‌های Nu-SVM و C-SVM تحت توابع کرnel

Table (2) Results of Nu-SVM and C-SVM models under kernel function

Validation(%)	Calibration(%)	$\gamma$	C	Function Type	Preprocessing
<b>95.86</b>	<b>96.69</b>	<b>1</b>	<b>100</b>	<b>Linear</b>	<b>MA</b>
19	18.8	10	1	Polynomial	MA
29.75	23.97	1	100	Radial	MA
27.27	24.79	0.01	100	Sigmoid	MA
83.47	94.21	1	1	Linear	MA+SNV
48.76	58.68	100	10	Polynomial	MA+SNV
80.99	93.39	0.01	100	Radial	MA+SNV
22.31	18.18	1	0.1	Sigmoid	MA+SNV
<b>85.97</b>	<b>96.86</b>	<b>1</b>	<b>100</b>	<b>Linear</b>	<b>SG</b>
87.5	18.18	10	1	Polynomial	SG
28.73	25.84	1	100	Radial	SG
26.84	26.73	0.01	100	Sigmoid	SG
85.95	100	1	100	Linear	SG+SNV
48.76	58.68	100	10	Polynomial	SG+SNV
80.99	93.39	10	1	Radial	SG+SNV
24.79	18.18	0.1	0.01	Sigmoid	SG+SNV
27.27	23.97	1	100	Linear	MA+D
21.87	24.38	100	10	Polynomial	MA+D
26.44	18.18	100	100	Radial	MA+D
29.37	43.13	1	1	Sigmoid	MA+D
33.05	21.49	1	1	Linear	SG+D
19.45	18.18	100	10	Polynomial	SG+D
24.79	18.18	100	100	Radial	SG+D
15.74	18.18	100	100	Sigmoid	SG+D

## جدول (۳) ماتریس اغتشاش حاصل از نمونه‌های دسته آزمون

Table (3) The confusion matrix obtained from the samples of the test group

Predicted amount	Actual amount	Sample number	Predicted amount	Actual amount	Sample number
.	.	۵۶	.	.	۱
.	.	۶۳	.	.	۴
۱۱	۱۱	۷۰	۱۰۰	۱۰۰	۱۰
۱۱	۱۱	۷۳	۱۱	۱۱	۱۳
۲۰	۲۰	۷۷	۱۱	۲۰	۱۶
۳۳	۳۳	۸۴	۳۳	۳۳	۱۹
۵۰	۵۰	۹۱	۵۰	۵۰	۲۲
۲۰	۲۰	۹۸	۵۰	۵۰	۲۴
۱۱	۱۱	۱۰۵	۱۱	۱۱	۲۸
۳۳	۳۳	۱۱۲	۳۳	۳۳	۳۱
۵۰	۵۰	۱۱۹	۵۰	۵۰	۳۴
۱۱	۲۰	۱۲۶	۲۰	۲۰	۳۷
۲۰	۲۰	۱۳۳	۳۳	۳۳	۴۰
۳۳	۳۳	۱۴۰	۵۰	۵۰	۴۳
۵۰	۵۰	۱۴۷	۵۰	۵۰	۴۶
۱۰۰	۱۰۰	۱۵۴	.	.	۴۹

- [1] M. Rashvand, O. Mahmood, H. Mobli, and M. Soltanifiroz, "Evaluation of olive oil adulteration detection system based on image processing and dielectric spectroscopy," *Agric. Mach. Mech. Res. J.*, vol. 6, no. 2, pp. 29–19, 2017.
- [2] B. Vega-Márquez, I. Nepomuceno-Chamorro, N. Jurado-Campos, and C. Rubio-Escudero, "Deep Learning Techniques to Improve the Performance of Olive Oil Classification," *Front. Chem.*, vol. 7, no. January, pp. 1–10, 2020, doi: 10.3389/fchem.2019.00929.
- [3] A. M. Giuffré, M. Caracciolo, C. Zappia, M. Capocasale, and M. Poiana, "Effect of heating on chemical parameters of extra virgin olive oil, pomace olive oil, soybean oil and palm oil," *Ital. J. Food Sci.*, vol. 30, no. 4, pp. 715–739, 2018.
- [4] M. I. Covas, "Olive oil and the cardiovascular system," *Pharmacol. Res.*, vol. 55, no. 3, pp. 175–186, 2007, doi: 10.1016/j.phrs.2007.01.010.
- [5] C. Fauhl, F. Reniero, and C. Guillou, "1H NMR as a tool for the analysis of mixtures of virgin olive oil with oils of different botanical origin," *Magn. Reson. Chem.*, vol. 38, no. 6, pp. 436–443, 2000, doi: 10.1002/1097-458X(200006)38:6<436::AID-MRC672>3.0.CO;2-X.
- [6] S. Ok, "Detection of olive oil adulteration by low-field NMR relaxometry and UV-Vis spectroscopy upon mixing olive oil with various edible oils," *Grasas y Aceites*, vol. 68, no. 1, pp. 1–13, 2017, doi: 10.3989/gya.0678161.
- [7] S. A. Mahesar, M. Lucarini, A. Durazzo, A. Santini, A. I. Lampe, and J. Kiefer, "Application of Infrared Spectroscopy for Functional Compounds Evaluation in Olive Oil : A Current Snapshot," vol. 2019, 2019.
- [8] S. Ciccale, X. A. Conlan, A. J. Sinclair, and R. S. J. Keast, "Chemistry and health of olive oil phenolics," *Crit. Rev. Food Sci. Nutr.*, vol. 49, no. 3, pp. 218–236, 2009, doi: 10.1080/10408390701856223.
- [9] P. Vossen, "Olive oil: History, production, and characteristics of the world's classic oils," *HortScience*, vol. 42, no. 5, pp. 1093–1100, 2007, doi: 10.21273/hortsci.42.5.1093.
- [10] R. Rodriguez-Rodriguez, M. D. Herrera, M. A. de Sotomayor, and V. Ruiz-Gutierrez, "Pomace Olive Oil Improves Endothelial Function in Spontaneously Hypertensive Rats by Increasing Endothelial Nitric Oxide Synthase Expression," *Am. J. Hypertens.*, vol. 20, no. 7, pp. 728–734, 2007, doi: 10.1016/j.amjhyper.2007.01.012.
- [11] K. Antonopoulos, N. Valet, D. Spiratos, and G. Siragakis, "Olive oil and pomace olive oil processing," *Grasas y Aceites*, vol. 57, no. 1, pp. 56–67, 2006, doi: 10.3989/gya.2006.v57.i1.22.
- [12] F. Pérez-Jiménez, J. Ruano, P. Perez-Martinez, F. Lopez-Segura, and J. Lopez-Miranda, "The influence of olive oil on human health: Not a question of fat alone," *Mol. Nutr. Food Res.*, vol. 51, no. 10, pp. 1199–1208, 2007, doi: 10.1002/mnfr.200600273.
- [13] L. Di Giovacchino, S. Sestili, and D. Di Vincenzo, "Influence of olive processing on virgin olive oil quality," *Eur. J. Lipid Sci. Technol.*, vol. 104, no. 9–10, pp. 587–601, 2002, doi: 10.1002/1438-9312(200210)104:9/10<587::AID-EJLT587>3.0.CO;2-M.
- [14] V. Maestrello, P. Solovyev, L. Bontempo, L. Mannina, and F. Camin, "Nuclear magnetic resonance spectroscopy in extra virgin olive oil authentication," *Compr. Rev. Food Sci. Food Saf.*, vol. 21, no. 5, pp. 4056–4075, 2022, doi: 10.1111/1541-4337.13005.
- [15] D. Tura, C. Gigliotti, S. Pedò, O. Failla, D. Bassi, and A. Serraiocco, "Influence of cultivar and site of cultivation on levels of lipophilic and hydrophilic antioxidants in virgin olive oils (*Olea Europea L.*) and correlations with oxidative stability," *Sci. Hortic. (Amsterdam)*, vol. 112, no. 1, pp. 108–119, 2007, doi: 10.1016/j.scienta.2006.12.036.
- [16] S. K. Dwivedi, M. Vishwakarma, and P. A. Soni, "Advances and Researches on Non Destructive Testing: A Review," *Mater. Today Proc.*, vol. 5, no. 2, pp. 3690–3698, 2018, doi: 10.1016/j.matpr.2017.11.620.
- [17] H. Xiao, L. Feng, D. Song, K. Tu, J. Peng, and L. Pan, "Grading and sorting of grape berries using visible-near infrared spectroscopy on the basis of multiple inner quality parameters," *Sensors (Switzerland)*, vol. 19, no. 11, 2019, doi: 10.3390/s19112600.
- [18] P. Galvin-King, S. A. Haughey, and C. T. Elliott, "Garlic adulteration detection using NIR and FTIR spectroscopy and chemometrics," *J. Food Compos. Anal.*, vol. 96, p. 103757, 2021, doi: 10.1016/j.jfca.2020.103757.
- [19] M. De Luca *et al.*, "Derivative FTIR spectroscopy for cluster analysis and classification of morocco olive oils," *Food Chem.*, vol. 124, no. 3, pp. 1113–1118, 2011, doi: 10.1016/j.foodchem.2010.07.010.
- [20] R. De Bei *et al.*, "Non-destructive measurement of grapevine water potential using near infrared

- spectroscopyDe Bei, R., Cozzolino, D., Sullivan, W., Cynkar, W., Fuentes, S., Dambergs, R., Pech, J., & Tyerman, S. D. (2011). Non-destructive measurement of grapevine water pote,” *Aust. J. Grape Wine Res.*, vol. 17, no. 1, pp. 62–71, 2011, doi: 10.1111/j.1755-0238.2010.00117.x.
- [21] X. Li *et al.*, “Review of NIR spectroscopy methods for nondestructive quality analysis of oilseeds and edible oils,” *Trends Food Sci. Technol.*, vol. 101, no. March, pp. 172–181, 2020, doi: 10.1016/j.tifs.2020.05.002.
- [22] S. Bureau and B. Gouble, “rapid and non-destructive analysis of apricot fruit quality using ft-near infrared spectroscopy,” *Mater. Struct.*, no. 2014, pp. 32–35, 2015.
- [23] A. C. de Lima, L. Aceña, M. Mestres, and R. Boqué, “An Overview of the Application of Multivariate Analysis to the Evaluation of Beer Sensory Quality and Shelf-Life Stability,” *Foods*, vol. 11, no. 14, pp. 1–15, 2022, doi: 10.3390/foods11142037.
- [24] A. Amari, N. El Bari, and B. Bouchikhi, “Electronic Nose for Anchovy Freshness Monitoring Based on Sensor Array and Pattern Recognition Methods: Principal Components Analysis, Linear Discriminant Analysis and Support Vector Machine,” *Int. J. Comput.*, vol. 6, no. 3, pp. 61–67, 2014, doi: 10.47839/ijc.6.3.452.
- [25] M. W. Huang, C. W. Chen, W. C. Lin, S. W. Ke, and C. F. Tsai, “SVM and SVM ensembles in breast cancer prediction,” *PLoS One*, vol. 12, no. 1, pp. 1–14, 2017, doi: 10.1371/journal.pone.0161501.
- [26] Z. Liu and J. Tan, “Qualitative and quantitative detection of Sudan I and II adulterated in chili powders by front-face synchronous fluorescence spectroscopy : Aggregation-induced emission in solid food,” pp. 1–21, 2022.
- [27] N. Abu-khalaf and M. Hmidat, “Visible / Near Infrared ( VIS / NIR ) spectroscopy as an optical sensor for evaluating olive oil quality,” *Comput. Electron. Agric.*, vol. 173, no. December 2019, p. 105445, 2020, doi: 10.1016/j.compag.2020.105445.
- [28] H. Cen, Y. He, and M. Huang, “Combination and comparison of multivariate analysis for the identification of orange varieties using visible and near infrared reflectance spectroscopy,” *Eur. Food Res. Technol.*, vol. 225, no. 5–6, pp. 699–705, 2007, doi: 10.1007/s00217-006-0470-2.
- [29] Y. G. M. Kongbonga *et al.*, “Characterization of Vegetable Oils by Fluorescence Spectroscopy,” *Food Nutr. Sci.*, vol. 02, no. 07, pp. 692–699, 2011, doi: 10.4236/fns.2011.27095.
- [30] T. Wang, Y. Zhang, Y. Liu, Z. Zhang, and T. Yan, “Intelligent Evaluation of Stone Cell Content of Korla Fragrant Pears by Vis/NIR Reflection Spectroscopy,” *Foods*, vol. 11, no. 16, 2022, doi: 10.3390/foods11162391.
- [31] m Zarezade, Mohammad Reza, abonajmi, M. Ghasemi-varnamkhasti, and f azarikia, “Estimation of the Best Classification Algorithm and Fraud Detection of Olive Oil by Olfaction Machine,” vol. 11, no. 2, pp. 371–383, 2021, doi: 10.22067/jam.v11i2.84105.
- [32] M. Bahmaei, R. Nazeri, F. Kalantari, N. T. Branch, and S. B. Company, “Archive of SID Detection of adulteration in canola-virgin olive admixture using instrumental gas liquid chromatography and UV spectroscopy”.

## Feasibility assessment of employing near-infrared/visible spectroscopy for detecting olive pomace oil adulteration using LDA and SVM identification methods

Shirin Asadian<sup>1</sup>, Ahmad Banakar<sup>2\*</sup>, Bahareh Jamshidi<sup>3</sup>

<sup>1</sup> Msc Student, Mechanical Engineering of Biosystems Department, Tarbiat Modares University, Tehran, Iran.

<sup>2</sup> Associate Professor, Mechanical Engineering of Biosystem Department, Tarbiat Modares University, Tehran, Iran.

<sup>3</sup> Associate Professor, Agricultural Engineering Research Institute, Agricultural Research Education and Extension Organization (AREEO), Karaj, Iran.

### Extended Abstract

#### Introduction

Olive oil is a commercially valuable product, so it is often adulterated with other edible oils such as sunflower, hazelnut oil, pomace oil and other oils that have a fatty acid composition close to olive oil. Accordingly, quality control of this oil is one of the issues and It is very important in health and food safety. After extracting olive oil by physical techniques, a residue is created that contains more than 8% oil and can be extracted by a solvent (usually hexane). This oil is called pomace olive oil. Due to the characteristics of the solvent, the oil extracted with the solvent has more trace elements. Pomace olive oil is carcinogenic due to extraction with chemical solvents and as a result of being contaminated with benzoalphaplyrene, monochloropropane DLs and cyclic hydrocarbons and has an adverse effect on nerves and other body organs. Currently, gas chromatography method is used to detect adulteration in olive oil. Also, in the health system, to control the quality of food, including olive oil, compared to other frauds and the quantity of fatty acids, it is done by chemical tests and gas chromatography tests, which are expensive and time-consuming methods and require specialized quality control laboratories and specialized human resources. It should be noted that the presence of pomace olive oil in virgin olive oil and refined olive oil cannot be detected by gas chromatography, and detection of adulteration in these cases is not applicable by chromatography. Past studies show the high importance of spectroscopy as a fast, simple, low-cost method with acceptable accuracy in measuring the quality of agricultural products. For this reason, its use in different ways and for different products is expanding day by day. In this research, pomace olive oil adulteration was identified using a fast and non-destructive visible-near-infrared (Vis/NIR) spectroscopy method without measuring qualitative properties using pattern recognition methods such as LDA and SVM.

#### Materials and Methode

The extra-virgin, virgin and refined olive oils used in this research were prepared from the Etka olive oil factory in Varamin, Tehran province. The sample of raw and non-edible pomace oil was also obtained from a pharmaceutical, cosmetic and health company. Extra virgin olive oil, virgin and refined olive oil were mixed with pomace oil with weight percentages of 11, 20, 33, 50 and 100%. These percentages were chosen according to the frauds in the market. A total of 160 samples were prepared with ten replicates for each treatment. The visible/near infrared spectrum was used using a two-way fiber, which is the central part for light transmission from the sample to the detector and the outer fiber for light transmission from the radiation source to the sample, and in the transition state and in the 200-850 nm region using Spectrometer model usb2000 made by ocean optic company and recorded with 1 nanometer resolution by OceanView software. The spectral data obtained from the spectrometer, in addition to the sample information, also includes unwanted background information and noises. Hence, in order to achieve stable, accurate and reliable calibration models, there is a need to pre-process spectral data before formulating classification models appropriate to the data. After recording and saving the obtained spectra for the analysis of the received spectra, data preprocessing was done. Part of the data from the 550 nm area already had high noise and could not be smoothed by the usual pre-processing methods, so they were removed. After the transmission spectra obtained from all the samples were converted into absorption spectra in order to create a linear relationship with the molecular concentration of the

sample, to prepare and pre-process the spectra some smoothing and noise reduction methods such as moving average (MA), Savitzky Golay (SG), Standard normal variate (SNV) and first derivative (D1) were used. The samples were divided into two groups of training (80 percent) for the development of calibration models, and the test group (20 percent) for the external validation of the developed calibration models in order to check the ability and accuracy of the models in classifying different percentages of fraud of unknown samples. Linear discriminant analysis (LDA) and support vector machine (SVM) were used in this research. Evaluation of the built model with full cross-validation method is used to select the model with the highest classification ability among the statistical models. In other words, after building the model in the re-evaluation phase, the reliability and stability of the model was also investigated. In this research, three types of Linear, Quadratic and Mahalanobis functions and four different weighting coefficients (1/SDev, Constant, Block weighting and Downweight) were used to create a classification model using LDA method.

## Results and discussion

Our findings show that extra-virgin olive oil has higher absorption in almost all spectra than virgin and refined olive oils and pomace, and this is also consistent with previous researches. Three types of Linear, Quadratic and Mahalanobis functions were used to create the classification model by LDA method. The results obtained from LDA method showed that MA preprocessing based on Quadratic function provides the highest accuracy. In the next step, SG preprocessing based on the Quadratic function provided a better accurate model than other preprocessing methods; Therefore, in this method, the use of MA and SG preprocessing and the Quadratic function had a greater effect in building models with higher accuracy. It is worth mentioning that different weight coefficients had no effect on the accuracy of LDA method. Choosing the appropriate weighting coefficients depends on the type of data and usually by trial and error, the appropriate method of applying the weighting coefficient can be achieved. Two types of C-SVM and Nu-SVM were used to classify the samples in the SVM method. Four types of kernel functions including linear, quadratic, radial basis function and sigmoid were used. The linear function with MA preprocessing with training accuracy of 100 and validation accuracy of 97.5 had the highest validation accuracy in the classification of olive oil samples. It is worth noting that Linear function and C-CVM method had a great effect on more accurate models with different pre-processing. Therefore, both SVM and LDA modeling methods had a very acceptable performance in separating and categorizing the research treatments. The SVM method is preferred due to its greater accuracy in the calibration and validation section.

## Conclusions

In this research, a visible/near infrared (Vis/NIR) spectroscopic system was investigated in order to classify olive oil samples with different adulteration percentages with pattern recognition methods including LDA and SVM. The obtained results showed that spectroscopy (Vis/NIR) is able to distinguish olive oil samples based on pomace olive oil adulteration rate. Although the LDA method was able to classify the olive oil samples with acceptable accuracy, the SVM method with a training accuracy of 96.69 and a validation accuracy of 95.86 was the best method for classifying the samples. Also, based on the results, the linear function, the best function for building the classification model was determined by SVM method.

**Keywords:** Fraud, Linear Discriminant Analysis, Pomace Oil, Support Vector Machine

جدول (۱) نتایج مدل LDA نمونه‌های روغن زیتون

Table (1) Results of LDA model of olive oil samples

Accuracy (%)	Function Type	Preprocessing
79.99	Linear	MA
<b>82.64</b>	<b>Quadratic</b>	<b>MA</b>
81.82	Mahalanobis	MA
49.59	Linear	MA+SNV
74.38	Quadratic	MA+SNV
73.55	Mahalanobis	MA+SNV
79.34	Linear	SG
81.56	Quadratic	SG
80.12	Mahalanobis	SG
43.84	Linear	SG+SNV
71.94	Quadratic	SG+SNV
73.06	Mahalanobis	SG+SNV
80.42	Linear	MA+D <sub>1</sub>
78.34	Quadratic	MA+D <sub>1</sub>
72.94	Mahalanobis	MA+D <sub>1</sub>
79.96	Linear	SG+D <sub>1</sub>
72.91	Quadratic	SG+D <sub>1</sub>
74.91	Mahalanobis	SG+D <sub>1</sub>

جدول (۲) نتایج مدل‌های Nu-SVM و C-SVM تحت توابع کرnel

Table (2) Results of Nu-SVM and C-SVM models under kernel function

Validation(%)	Calibration(%)	$\gamma$	C	Function Type	Preprocessing
<b>95.86</b>	<b>96.69</b>	<b>1</b>	<b>100</b>	<b>Linear</b>	<b>MA</b>
19	18.8	10	1	Polynomial	MA
29.75	23.97	1	100	Radial	MA
27.27	24.79	0.01	100	Sigmoid	MA
83.47	94.21	1	1	Linear	MA+SNV
48.76	58.68	100	10	Polynomial	MA+SNV
80.99	93.39	0.01	100	Radial	MA+SNV
22.31	18.18	1	0.1	Sigmoid	MA+SNV
<b>85.97</b>	<b>96.86</b>	<b>1</b>	<b>100</b>	<b>Linear</b>	<b>SG</b>
87.5	18.18	10	1	Polynomial	SG
28.73	25.84	1	100	Radial	SG
26.84	26.73	0.01	100	Sigmoid	SG
85.95	100	1	100	Linear	SG+SNV
48.76	58.68	100	10	Polynomial	SG+SNV
80.99	93.39	10	1	Radial	SG+SNV
24.79	18.18	0.1	0.01	Sigmoid	SG+SNV
27.27	23.97	1	100	Linear	MA+D

21.87	24.38	100	10	Polynomial	MA+D
26.44	18.18	100	100	Radial	MA+D
29.37	43.13	1	1	Sigmoid	MA+D
33.05	21.49	1	1	Linear	SG+D
19.45	18.18	100	10	Polynomial	SG+D
24.79	18.18	100	100	Radial	SG+D
15.74	18.18	100	100	Sigmoid	SG+D

جدول (۳) ماتریس اغتشاش حاصل از نمونه‌های دسته آزمون

Table (3) The confusion matrix obtained from the samples of the test group

Predicted amount	Actual amount	Sample number	Predicted amount	Actual amount	Sample number
.	.	۵۶	.	.	۱
.	.	۶۳	.	.	۴
۱۱	۱۱	۷۰	۱۰۰	۱۰۰	۱۰
۱۱	۱۱	۷۳	۱۱	۱۱	۱۳
۲۰	۲۰	۷۷	۱۱	۲۰	۱۶
۳۳	۳۳	۸۴	۳۳	۳۳	۱۹
۵۰	۵۰	۹۱	۵۰	۵۰	۲۲
۲۰	۲۰	۹۸	۵۰	۵۰	۲۴
۱۱	۱۱	۱۰۵	۱۱	۱۱	۲۸
۳۳	۳۳	۱۱۲	۳۳	۳۳	۳۱
۵۰	۵۰	۱۱۹	۵۰	۵۰	۳۴
۱۱	۲۰	۱۲۶	۲۰	۲۰	۳۷
۲۰	۲۰	۱۳۳	۳۳	۳۳	۴۰
۳۳	۳۳	۱۴۰	۵۰	۵۰	۴۳
۵۰	۵۰	۱۴۷	۵۰	۵۰	۴۶
۱۰۰	۱۰۰	۱۵۴	.	.	۴۹

- [1]M. Rashvand, O. Mahmood, H. Mobli, and M. Soltanifiroz, “Evaluation of olive oil adulteration detection system based on image processing and dielectric spectroscopy,” *Agric. Mach. Mech. Res. J.*, vol. 6, no. 2, pp. 29–19, 2017.
- [2]B. Vega-Márquez, I. Nepomuceno-Chamorro, N. Jurado-Campos, and C. Rubio-Escudero, “Deep Learning Techniques to Improve the Performance of Olive Oil Classification,” *Front. Chem.*, vol. 7, no. January, pp. 1–10, 2020, doi: 10.3389/fchem.2019.00929.
- [3]A. M. Giuffré, M. Caracciolo, C. Zappia, M. Capocasale, and M. Poiana, “Effect of heating on chemical parameters of extra virgin olive oil, pomace olive oil, soybean oil and palm oil,” *Ital. J. Food Sci.*, vol. 30, no. 4, pp. 715–739, 2018.
- [4]M. I. Covas, “Olive oil and the cardiovascular system,” *Pharmacol. Res.*, vol. 55, no. 3, pp. 175–186, 2007, doi: 10.1016/j.phrs.2007.01.010.
- [5]C. Fauhl, F. Reniero, and C. Guillou, “<sup>1</sup>H NMR as a tool for the analysis of mixtures of virgin olive oil with oils of different botanical origin,” *Magn. Reson. Chem.*, vol. 38, no. 6, pp. 436–443, 2000, doi: 10.1002/1097-458X(200006)38:6<436::AID-MRC672>3.0.CO;2-X.
- [6]S. Ok, “Detection of olive oil adulteration by low-field NMR relaxometry and UV-Vis spectroscopy upon mixing olive oil with various edible oils,” *Grasas y Aceites*, vol. 68, no. 1, pp. 1–13, 2017, doi: 10.3989/gya.0678161.
- [7]S. A. Mahesar, M. Lucarini, A. Durazzo, A. Santini, A. I. Lampe, and J. Kiefer, “Application of Infrared Spectroscopy for Functional Compounds Evaluation in Olive Oil : A Current Snapshot,” vol. 2019, 2019.
- [8]S. Ciccale, X. A. Conlan, A. J. Sinclair, and R. S. J. Keast, “Chemistry and health of olive oil phenolics,” *Crit. Rev. Food Sci. Nutr.*, vol. 49, no. 3, pp. 218–236, 2009, doi: 10.1080/10408390701856223.
- [9]P. Vossen, “Olive oil: History, production, and characteristics of the world’s classic oils,” *HortScience*, vol. 42, no. 5, pp. 1093–1100, 2007, doi: 10.21273/hortsci.42.5.1093.
- [10]R. Rodriguez-Rodriguez, M. D. Herrera, M. A. de Sotomayor, and V. Ruiz-Gutierrez, “Pomace Olive Oil Improves Endothelial Function in Spontaneously Hypertensive Rats by Increasing Endothelial Nitric Oxide Synthase Expression,” *Am. J. Hypertens.*, vol. 20, no. 7, pp. 728–734, 2007, doi: 10.1016/j.amjhyper.2007.01.012.
- [11]K. Antonopoulos, N. Valet, D. Spiratos, and G. Siragakis, “Olive oil and pomace olive oil processing,” *Grasas y Aceites*, vol. 57, no. 1, pp. 56–67, 2006, doi: 10.3989/gya.2006.v57.i1.22.
- [12]F. Pérez-Jiménez, J. Ruano, P. Perez-Martinez, F. Lopez-Segura, and J. Lopez-Miranda, “The influence of olive oil on human health: Not a question of fat alone,” *Mol. Nutr. Food Res.*, vol. 51, no. 10, pp. 1199–1208, 2007, doi: 10.1002/mnfr.200600273.
- [13]L. Di Giovacchino, S. Sestili, and D. Di Vincenzo, “Influence of olive processing on virgin olive oil quality,” *Eur. J. Lipid Sci. Technol.*, vol. 104, no. 9–10, pp. 587–601, 2002, doi: 10.1002/1438-9312(200210)104:9/10<587::AID-EJLT587>3.0.CO;2-M.
- [14]V. Maestrello, P. Solovyev, L. Bontempo, L. Mannina, and F. Camin, “Nuclear magnetic resonance spectroscopy in extra virgin olive oil authentication,” *Compr. Rev. Food Sci. Food Saf.*, vol. 21, no. 5, pp. 4056–4075, 2022, doi: 10.1111/1541-4337.13005.
- [15]D. Tura, C. Gigliotti, S. Pedò, O. Failla, D. Bassi, and A. Serraiocco, “Influence of cultivar and site of cultivation on levels of lipophilic and hydrophilic antioxidants in virgin olive oils (*Olea Europea L.*) and correlations with oxidative stability,” *Sci. Hortic. (Amsterdam)*, vol. 112, no. 1, pp. 108–119, 2007, doi: 10.1016/j.scientia.2006.12.036.
- [16]S. K. Dwivedi, M. Vishwakarma, and P. A. Soni, “Advances and Researches on Non Destructive Testing: A Review,” *Mater. Today Proc.*, vol. 5, no. 2, pp. 3690–3698, 2018, doi: 10.1016/j.matpr.2017.11.620.

- [17]H. Xiao, L. Feng, D. Song, K. Tu, J. Peng, and L. Pan, “Grading and sorting of grape berries using visible-near infrared spectroscopy on the basis of multiple inner quality parameters,” Sensors (Switzerland), vol. 19, no. 11, 2019, doi: 10.3390/s19112600.
- [18]P. Galvin-King, S. A. Haughey, and C. T. Elliott, “Garlic adulteration detection using NIR and FTIR spectroscopy and chemometrics,” *J. Food Compos. Anal.*, vol. 96, p. 103757, 2021, doi: 10.1016/j.jfca.2020.103757.
- [19]M. De Luca et al., “Derivative FTIR spectroscopy for cluster analysis and classification of morocco olive oils,” *Food Chem.*, vol. 124, no. 3, pp. 1113–1118, 2011, doi: 10.1016/j.foodchem.2010.07.010.
- [20]R. De Bei et al., “Non-destructive measurement of grapevine water potential using near infrared spectroscopy” De Bei, R., Cozzolino, D., Sullivan, W., Cynkar, W., Fuentes, S., Dambergs, R., Pech, J., & Tyerman, S. D. (2011). Non-destructive measurement of grapevine water pote,” *Aust. J. Grape Wine Res.*, vol. 17, no. 1, pp. 62–71, 2011, doi: 10.1111/j.1755-0238.2010.00117.x.
- [21]X. Li et al., “Review of NIR spectroscopy methods for nondestructive quality analysis of oilseeds and edible oils,” *Trends Food Sci. Technol.*, vol. 101, no. March, pp. 172–181, 2020, doi: 10.1016/j.tifs.2020.05.002.
- [22]S. Bureau and B. Gouble, “rapid and non-destructive analysis of apricot fruit quality using ft-near infrared spectroscopy,” *Mater. Struct.*, no. 2014, pp. 32–35, 2015.
- [23]A. C. de Lima, L. Aceña, M. Mestres, and R. Boqué, “An Overview of the Application of Multivariate Analysis to the Evaluation of Beer Sensory Quality and Shelf-Life Stability,” *Foods*, vol. 11, no. 14, pp. 1–15, 2022, doi: 10.3390/foods11142037.
- [24]A. Amari, N. El Bari, and B. Bouchikhi, “Electronic Nose for Anchovy Freshness Monitoring Based on Sensor Array and Pattern Recognition Methods: Principal Components Analysis, Linear Discriminant Analysis and Support Vector Machine,” *Int. J. Comput.*, vol. 6, no. 3, pp. 61–67, 2014, doi: 10.47839/ijc.6.3.452.
- [25]M. W. Huang, C. W. Chen, W. C. Lin, S. W. Ke, and C. F. Tsai, “SVM and SVM ensembles in breast cancer prediction,” *PLoS One*, vol. 12, no. 1, pp. 1–14, 2017, doi: 10.1371/journal.pone.0161501.
- [26]Z. Liu and J. Tan, “Qualitative and quantitative detection of Sudan I and II adulterated in chili powders by front-face synchronous fluorescence spectroscopy : Aggregation-induced emission in solid food,” pp. 1–21, 2022.
- [27]N. Abu-khalaf and M. Hmidat, “Visible / Near Infrared ( VIS / NIR ) spectroscopy as an optical sensor for evaluating olive oil quality,” *Comput. Electron. Agric.*, vol. 173, no. December 2019, p. 105445, 2020, doi: 10.1016/j.compag.2020.105445.
- [28]H. Cen, Y. He, and M. Huang, “Combination and comparison of multivariate analysis for the identification of orange varieties using visible and near infrared reflectance spectroscopy,” *Eur. Food Res. Technol.*, vol. 225, no. 5–6, pp. 699–705, 2007, doi: 10.1007/s00217-006-0470-2.
- [29]Y. G. M. Kongbonga et al., “Characterization of Vegetable Oils by Fluorescence Spectroscopy,” *Food Nutr. Sci.*, vol. 02, no. 07, pp. 692–699, 2011, doi: 10.4236/fns.2011.27095.
- [30]T. Wang, Y. Zhang, Y. Liu, Z. Zhang, and T. Yan, “Intelligent Evaluation of Stone Cell Content of Korla Fragrant Pears by Vis/NIR Reflection Spectroscopy,” *Foods*, vol. 11, no. 16, 2022, doi: 10.3390/foods11162391.
- [31] m Zarezade, Mohammad Reza, abonajmi, M. Ghasemi-varnamkhasti, and f azarikia, “Estimation of the Best Classification Algorithm and Fraud Detection of Olive Oil by Olfaction Machine,” vol. 11, no. 2, pp. 371–383, 2021, doi: 10.22067/jam.v11i2.84105.
- [32]M. Bahmaei, R. Nazeri, F. Kalantari, N. T. Branch, and S. B. Company, “Archive of SID Detection of adulteration in canola-virgin olive admixture using instrumental gas liquid chromatography and UV spectroscopy”.

## Feasibility assessment of employing near-infrared/visible spectroscopy for detecting olive pomace oil adulteration using LDA and SVM identification methods

Shirin Asadian<sup>1</sup>, Ahmad Banakarb<sup>2</sup>, Bahareh Jamshidi<sup>3</sup>

1 Msc Student, Mechanical Engineering of Biosystems Department, Tarbiat Modares University, Tehran, Iran.

2 Associate Professor, Mechanical Engineering of Biosystem Department, Tarbiat Modares University, Tehran, Iran.

3 Associate Professor, Agricultural Engineering Research Institute, Agricultural Research Education and Extension Organization (AREEO), Karaj, Iran.

### Extended Abstract

#### Introduction

Olive oil is a commercially valuable product, so it is often adulterated with other edible oils such as sunflower, hazelnut oil, pomace oil and other oils that have a fatty acid composition close to olive oil. Accordingly, quality control of this oil is one of the issues and It is very important in health and food safety. After extracting olive oil by physical techniques, a residue is created that contains more than 8% oil and can be extracted by a solvent (usually hexane). This oil is called pomace olive oil. Due to the characteristics of the solvent, the oil extracted with the solvent has more trace elements. Pomace olive oil is carcinogenic due to extraction with chemical solvents and as a result of being contaminated with benzoalphaplyrene, monochloropropane DLs and cyclic hydrocarbons and has an adverse effect on nerves and other body organs. Currently, gas chromatography method is used to detect adulteration in olive oil. Also, in the health system, to control the quality of food, including olive oil, compared to other frauds and the quantity of fatty acids, it is done by chemical tests and gas chromatography tests, which are expensive and time-consuming methods and require specialized quality control laboratories and specialized human resources. It should be noted that the presence of pomace olive oil in virgin olive oil and refined olive oil cannot be detected by gas chromatography, and detection of adulteration in these cases is not applicable by chromatography. Past studies show the high importance of spectroscopy as a fast, simple, low-cost method with acceptable accuracy in measuring the quality of agricultural products. For this reason, its use in different ways and for different products is expanding day by day. In this research, pomace olive oil adulteration was identified using a fast and non-destructive visible-near-infrared (Vis/NIR) spectroscopy method without measuring qualitative properties using pattern recognition methods such as LDA and SVM.

#### Materials and Methode

The extra-virgin, virgin and refined olive oils used in this research were prepared from the Etka olive oil factory in Varamin, Tehran province. The sample of raw and non-edible pomace oil was also obtained from a pharmaceutical, cosmetic and health company. Extra virgin olive oil, virgin and refined olive oil were mixed with pomace oil with weight percentages of 11, 20, 33, 50 and 100%. These percentages were chosen according to the frauds in the market. A total of 160 samples were prepared with ten replicates for each treatment. The visible/near infrared spectrum was used using a two-way fiber, which is the central part for light transmission from the sample to the detector and the outer fiber for light transmission from the radiation source to the sample, and in the transition state and in the 200-850 nm region using Spectrometer model usb2000 made by ocean optic company and recorded with 1 nanometer resolution by OceanView software. The spectral data obtained from the spectrometer, in addition to the sample information, also includes unwanted background information and noises. Hence, in order to achieve stable, accurate and reliable calibration models, there is a need to pre-process spectral data before formulating classification models appropriate to the data. After recording and saving the obtained spectra for the analysis of the received spectra, data preprocessing was done. Part of the data from the 550 nm area already had high noise and could not be smoothed by the usual pre-processing methods, so they were removed. After the transmission spectra obtained from all the samples

were converted into absorption spectra in order to create a linear relationship with the molecular concentration of the sample, to prepare and pre-process the spectra some smoothing and noise reduction methods such as moving average (MA), Savitzky Golay (SG), Standard normal variate (SNV) and first derivative (D1) were used. The samples were divided into two groups of training (80 percent) for the development of calibration models, and the test group (20 percent) for the external validation of the developed calibration models in order to check the ability and accuracy of the models in classifying different percentages of fraud of unknown samples. Linear discriminant analysis (LDA) and support vector machine (SVM) were used in this research. Evaluation of the built model with full cross-validation method is used to select the model with the highest classification ability among the statistical models. In other words, after building the model in the re-evaluation phase, the reliability and stability of the model was also investigated. In this research, three types of Linear, Quadratic and Mahalanobis functions and four different weighting coefficients (1/SDev, Constant, Block weighting and Downweight) were used to create a classification model using LDA method.

### **Results and discussion**

Our findings show that extra-virgin olive oil has higher absorption in almost all spectra than virgin and refined olive oils and pomace, and this is also consistent with previous researches. Three types of Linear, Quadratic and Mahalanobis functions were used to create the classification model by LDA method. The results obtained from LDA method showed that MA preprocessing based on Quadratic function provides the highest accuracy. In the next step, SG preprocessing based on the Quadratic function provided a better accurate model than other preprocessing methods; Therefore, in this method, the use of MA and SG preprocessing and the Quadratic function had a greater effect in building models with higher accuracy. It is worth mentioning that different weight coefficients had no effect on the accuracy of LDA method. Choosing the appropriate weighting coefficients depends on the type of data and usually by trial and error, the appropriate method of applying the weighting coefficient can be achieved. Two types of C-SVM and Nu-SVM were used to classify the samples in the SVM method. Four types of kernel functions including linear, quadratic, radial basis function and sigmoid were used. The linear function with MA preprocessing with training accuracy of 100 and validation accuracy of 97.5 had the highest validation accuracy in the classification of olive oil samples. It is worth noting that Linear function and C-CVM method had a great effect on more accurate models with different pre-processing. Therefore, both SVM and LDA modeling methods had a very acceptable performance in separating and categorizing the research treatments. The SVM method is preferred due to its greater accuracy in the calibration and validation section.

### **Conclusions**

In this research, a visible/near infrared (Vis/NIR) spectroscopic system was investigated in order to classify olive oil samples with different adulteration percentages with pattern recognition methods including LDA and SVM. The obtained results showed that spectroscopy (Vis/NIR) is able to distinguish olive oil samples based on pomace olive oil adulteration rate. Although the LDA method was able to classify the olive oil samples with acceptable accuracy, the SVM method with a training accuracy of 96.69 and a validation accuracy of 95.86 was the best method for classifying the samples. Also, based on the results, the linear function, the best function for building the classification model was determined by SVM method.

**Keywords:** Fraud, Linear Discriminant Analysis, Pomace Oil, Support Vector Machine